

## استفاده از تکنیک غیرمخرب طیف سنجی FT-NIR در تعیین میزان رسیدگی خرمای شاهانی

سید احمد میرهای<sup>۱\*</sup>، سید سعید محتبسی<sup>۲</sup>، رضا مسعودی<sup>۳</sup>، شاهین رفیعی<sup>۴</sup> و آتوسا سادات عربانیان<sup>۵</sup>

<sup>۱</sup> دانشجوی دکتری، <sup>۲</sup> استاد و <sup>۴</sup> دانشیار دانشکده مهندسی و فناوری کشاورزی، دانشگاه تهران

<sup>۳</sup> دانشیار و <sup>۵</sup> دانشجوی دکتری پژوهشکده لیزر، دانشگاه شهید بهشتی

(تاریخ دریافت: ۱۳۸۸/۷/۶ - تاریخ تصویب: ۱۳۸۹/۴/۲۲)

### چکیده

در این تحقیق، پتانسیل تکنیک غیرمخرب طیف سنجی FT-NIR در تعیین میزان رطوبت و مواد جامد محلول خرمای شاهانی مورد ارزیابی قرار گرفت. طیف NIR-FT خرمها با استفاده از یک اسپکتروفوتومتر FT-NIR در وضعیت انعکاسی و در محدوده طول موجی ۱۲۰۰۰-۲۵۰۰۰ سانتیمتر معکوس (۸۰۰-۴۰۰۰ نانومتر) به دست آمد. از سه روش متفاوت پیش پردازش (تصحیح پراکنش افزاینده، مشتق اول و مشتق دوم) برای حذف اطلاعات اضافی از طیفها استفاده شد و اثر آنها در توانایی پیشگویی مدل، مورد مقایسه قرار گرفت. بهترین مدل‌هایی به دست آمده از روش حداقل مربعات نسبی (PLS)، میزان رطوبت و مواد جامد محلول خرمها را با ضرایب تبیین به ترتیب برابر  $0.977 \pm 0.973$  و  $0.973 \pm 0.977$  و ریشه میانگین مربعات خطای کمتر از  $1/4$  درصد و  $1/6$  درجه برقیس پیش بینی کردند. مقادیر نسبتاً بالای انحراف پیشگوی باقیمانده (RPD) به دست آمده از این تحقیق  $7/4 \pm 6/4$  برای به ترتیب تخمین میزان رطوبت و مواد جامد محلول) نشان دادند که تکنیک طیف سنجی FT-NIR می‌تواند به عنوان یک روش غیرمخرب، سریع و دقیق در تعیین رسیدگی خرمای شاهانی مورد استفاده قرار گیرد.

**واژه‌های کلیدی:** میزان رطوبت، میزان مواد جامد محلول، وضعیت انعکاسی، حداقل مربعات نسبی، انحراف پیشگوی باقیمانده.

عبارتند از: مرحله کنگلو، مرحله کنگ یا خارک، مرحله رطب و مرحله خرما (Imad et al., 1995; Al-Shahib & Marshall, 2003; Sahabri et al., 2007) با این حال بسته به نوع واریته و تقاضای بازار، خرمایان معمولاً در سه مرحله آخر برداشت می‌شوند (Awad, 2007; Sahari et al., 2007). در این میان مهمترین فاکتورهایی که رسیدگی صحیح خرما را در پس از برداشت تحت تأثیر قرار می‌دهند، میزان قند و رطوبت آنها می‌باشد (Schmilovitch et al., 1999). در طول مراحل بعدی رسیدگی، به مقدار قند خرما افزوده شده و از میزان آب آن کاسته می‌شود. در طی این فرآیند، میوه‌های با محتوای قند پایین‌تر از یک مقدار بحرانی هرگز به درستی نخواهند رسید و رنگ و طعم مطلوبی نخواهند داشت. به طور کلی، خرمایان با میزان آب کمتر از  $66$  درصد و یا میزان قند بالاتر از  $30/5$  درصد بر حسب میزان مواد جامد محلول<sup>۱</sup> (SSC) به عنوان یک میوه بالغ در نظر گرفته شده که در طول شرایط انبارداری به درستی خواهند رسید (Schmilovitch et al., 1999). از آنجا که برداشت خوش‌های خرمایان به یکباره انجام می‌شود لازم است که در هر منطقه، زمان برداشت محصول به طور سریع مشخص شود به نحوی که در آن زمان، مقدار محصول بالغ در آن منطقه

### مقدمه

خرما (*Pheonix dactylifera* L.) یکی از مهمترین محصولات تجاری کشورهای خاورمیانه از جمله ایران می‌باشد. میوه خرما سرشار از انرژی، ویتامین‌ها و گروهی از مواد معدنی مانند فسفر، آهن، پتاسیم و مقدار قابل توجهی منیزیم و کلسیم می‌باشد (Biglari et al., 2009; Sahari et al., 2007). کشور ایران با تولید و صادرات به ترتیب  $1000000$  و  $351143$  تن در سال  $2006$ ، همواره نقش مهمی در تولید و صادرات ارقام مختلف خرما در سطح جهان داشته است (FAOSTAT. 2006). طبق برخی از گزارش‌ها در ایران حدود  $400$  رقم خرما وجود دارد که در این میان، خرمای شاهانی یکی از مهمترین ارقام خرمای ایران می‌باشد که عمدها در نواحی جنوبی استان فارس و بخصوص در شهرستان جهرم کشت می‌شود. خرمای شاهانی در مرحله رطب بسیار لذید بوده و در مرحله خرما، می‌تواند به عنوان یکی از بهترین واریته‌ها جهت تولید شیره خرما و سایر صنایع تبدیلی مورد استفاده قرار گیرد (Keramat Jahromi et al., 2008).

به طور کلی رسیدگی خرمای شاهانی چهار مرحله می‌باشد که

\* نویسنده مسئول: samireei@ut.ac.ir

بهینه بوده و حداقل ۸۰ درصد میوه‌های بالغ برداشت شوند (Ashraf Jahani, 2002).  
Ying, 2005)، در حالی که در اسپکتروفوتومترهای تبدیل فوریه از یک تداخل‌سنچ<sup>۷</sup> برای تداخل امواج انعکاسی از نمونه و امواج انعکاسی از یک آینه متحرک استفاده می‌شود و در نهایت سیگنال وابسته به زمان به وجود آمده از تداخل با استفاده از یک تبدیل فوریه به طیف وابسته به طول موج تبدیل می‌شود (Nicolaï et al., 2007; Wetzel, 2001). اسپکتروفوتومترهای تبدیل فوریه نسبت به نوع متفرق کننده دارای مزایایی از جمله تکنولوژی جدیدتر و سرعت بالاتر، اجزای مکانیکی ساده‌تر و قابلیت تنظیم خودکار با استفاده از لیزر هلیم-نئون را می‌باشند. Peirs et al. (2002) عملکرد اسپکتروفوتومتر متفرق کننده را با نوع تبدیل فوریه آن از نقطه نظر ثبات دستگاه، عمق نفوذ نور و ظرفیت تخمین برخی خواص کیفی سبب مقایسه کردند. نتایج این تحقیق نشان داد که اسپکتروفوتومتر تبدیل فوریه مزایای قابل توجهی نسبت به نوع متفرق کننده در اندازه‌گیری غیرمخرب خواص کیفی سبب دارد. در مورد کاربرد طیفسنجی FT-NIR در ارزیابی غیرمخرب محصولات کشاورزی می‌توان به Peirs et al., 2002; Liu & SSC و اسیدیته سبب (Ying et al., 2005; Yan-de et al., 2007) و هلو (Huishan et al., 2005) در مرکبات (Liu & Ying, 2004) اشاره کرد.

مطالعات کمی در مورد کاربرد طیف سنجی NIR در خرما گزارش شده است. Schmilovitch et al. (۱۹۹۹)، از یک سیستم نیمه خودکار که بر مبنای طیف سنجی NIR در دامنه ۱۲۰۰-۲۴۰۰ نانومتر کار می‌کرده، برای تخمین SSC و رطوبت خرمای حیانی استفاده کردند. نتایج این تحقیق یک خطای استاندارد پیشگویی<sup>۸</sup> (SEP) ۱ درصد و ضریب تبیین ( $R^2$ ) ۰/۸۱ در هر دو مدل تخمین SSC و رطوبت را نشان دادند. هدف از این تحقیق، بررسی یک روش سریع و غیرمخرب بر مبنای طیف سنجی FT-NIR برای تعیین میزان رطوبت و مواد جامد محلول خرمای شاهانی در طول دوره رسیدگی می‌باشد.

## مواد و روش‌ها

تعداد ۱۵۰ دانه خرمای شاهانی در دو تاریخ مختلف (۳۰ مرداد و ۳۰ شهریور ۱۳۸۷) از دو نخلستان متفاوت واقع در شهرستان چهرم استان فارس برداشت و برای آزمایش انتخاب شدند. خرماهای انتخاب شده شامل هر سه مرحله خارک، رطب و خرما بوده به نحوی که دارای حداقل تغییرپذیری در میزان قند و رطوبت در طول دوره رسیدگی خرمای شاهانی باشند.

7. Interferometer

8. Standard Error of Prediction

میزان رطوبت در خرما علاوه بر اینکه شاخص مهمی برای تعیین رسیدگی است، می‌تواند در طول مراحل انبارداری و یا درجه‌بندی و بسته‌بندی نیز به عنوان فاکتور مهمی مد نظر قرار گیرد. انبارداری یا بسته‌بندی خرمها با یک درصد رطوبت بهینه می‌تواند از شکرک زدن و یا قارچ زدگی خرمها جلوگیری کند.

در حال حاضر اکثر روش‌های متداول برای اندازه‌گیری میزان رطوبت و SSC خرما، روش‌های مخرب بوده که نیازمند صرف زمان و کار زیاد است. مطالعات اندکی در مورد تعیین رطوبت و SSC خرما با استفاده از تکنیک‌های غیرمخرب گزارش شده است. Ismail & Alyahya (2003) از روش الکتریکی برای تخمین میزان رطوبت در چهار واریته خرما استفاده کردند. Schmilovitch et al. (2006)، میزان رطوبت خرما را با استفاده از تکنیکی مبتنی بر خواص دی الکتریک خرما تعیین کردند. Lee et al. (2008) با استفاده از یک تبدیل فضای رنگی و تکنیک تحلیل توزیع رنگ<sup>۱</sup>، رسیدگی خرما را به صورت پیوسته ارزیابی کردند.

در حال حاضر تکنیک طیف سنجی NIR<sup>۲</sup> به عنوان روشی غیرمخرب، سریع و دقیق در تعیین خواص درونی محصولات کشاورزی ارائه می‌شود. در این تکنیک، اطلاعات راجع به خواص درونی یک محصول با استفاده از اندازه‌گیری میزان جذب امواج فروسرخ نزدیک در ناحیه ۸۰۰ تا ۲۵۰۰ نانومتر، توسط ترکیبات شیمیایی موجود در آن محصول و پراکنش امواج در طول موج‌های بخصوص انجام می‌شود (Martens & Naes, 2001). Nicolai et al. (2007) مروری کامل بر تحقیقات انجام شده بر روی کاربرد طیفسنجی NIR در تعیین شاخص‌های کیفی میوه و سبزیجات انجام داده‌اند. در این تحقیقات انواع متفاوتی از اسپکتروفوتومترها برای به دست آوردن طیف جذبی یا انعکاسی محصول مورد نظر استفاده شده‌اند که عموماً براساس نوع تکفام‌ساز<sup>۳</sup> به کار رفته در آنها طبقه‌بندی می‌شوند. دو نوع معمول و متداول اسپکتروفوتومترهای استفاده شده در این تحقیقات عبارتند از: اسپکتروفوتومترهای فرو سرخ نزدیک متفرق کننده<sup>۴</sup> و اسپکتروفوتومترهای فروسرخ نزدیک تبدیل فوریه<sup>۵</sup>. در اسپکتروفوتومترهای متفرق کننده از یک شبکه<sup>۶</sup> برای تجزیه پرتوی نور خروجی از نمونه استفاده می‌شود (Liu &

1. Color distribution analysis techniques

2. Near-Infrared Spectroscopy

3. Monochromator

4. Dispersive NIR Spectrophotometer

5. Fourier-Transform NIR Spectrophotometer (FT-NIR Spectrophotometer)

6. Grating

SSC استفاده شد. روش اندازه‌گیری رطوبت خرما مبتنی بر استاندارد AOAC شامل خشک کردن نمونه در آون در دمای ۱۰۵ درجه سانتی‌گراد به مدت ۷۲ ساعت و محاسبه درصد کاهش وزن بر مبنای وزن تر نمونه، بود (A.O.A.C, 1998; Elleuch et al., 2008; Keramat Jahromi et al., 2008). روش اندازه‌گیری SSC نیز شامل مخلوط کردن نیمه خرما با آب مقطر با استفاده از یک میکسر مخصوص و اندازه‌گیری درجه بریکس مخلوط با استفاده از یک رفرکتومتر دیجیتال (مدل PR 101 ساخت شرکت ATAGO، آمریکا) می‌شد. سپس درجه بریکس واقعی نمونه با استفاده از رابطه ۱ محاسبه می‌شد:

$$Brix_s = \frac{W_s + W_w}{W_p} \times Brix_{mix} \quad (1)$$

که در آن  $Brix_s$  و  $Brix_{mix}$  به ترتیب درجه بریکس واقعی نمونه و درجه بریکس مخلوط و  $W_s$  و  $W_w$  به ترتیب وزن نمونه و وزن آب مقطر اضافه شده به نمونه می‌باشد. (A.O.A.C, 1998).

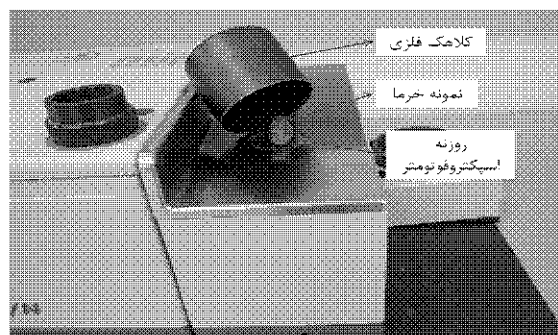
#### پیش پردازش و تحلیل داده‌ها

به دلیل خطی بودن رابطه بین طیف جذبی و میزان یک ترکیب شیمیایی (Williams & Norris, 2001) تمام طیف‌های انعکاسی با استفاده از معادله ۲ به طیف جذبی تبدیل شدند:  $Abs = \log[1/R]$

که در آن  $Abs$  طیف جذبی و  $R$  طیف انعکاسی نمونه می‌باشد. از سه تکنیک متفاوت برای پیش‌پردازش طیف‌ها استفاده شد و اثر هر کدام در توانایی مدل‌های پیشگو تعیین گردید. این تکنیک‌ها عبارت بودند از: تصحیح پراکنش افزاینده<sup>۶</sup> (MSC)، مشتق اول و مشتق دوم. از این تکنیک‌ها معمولاً برای حذف اطلاعات اضافی از طیف‌ها ناشی از منابع نامعلوم مانند ناهمواری‌های سطحی نمونه و تغییر فاصله نمونه با آشکارساز استفاده می‌شود (Lu, 2001). روش MSC تلاش می‌کند که اثرات پراکنش نور را با خطی‌سازی هر طیف به یک طیف ایده‌آل از نمونه که در عمل همان طیف میانگین می‌باشد، حذف کند. مشتق مرتبه اول نیز با محاسبه شبیه خط مماس بر هر نقطه از منحنی، علاوه بر یکنواخت کردن طیف‌ها، اثرات جایه‌جایی نقطه شروع طیف‌ها را نیز برطرف می‌کند. با استفاده از پیش‌پردازش مشتق دوم، علاوه بر از بین رفتن اثرات جایه‌جایی نقطه شروع و یکنواخت شدن طیف‌ها، تغییر فرم‌های ایجاد شده در ظاهر طیف (ناشی از تغییر فاصله آشکارساز با نمونه) از بین رفت و علاوه بر آن، پیک‌های ضعیف موجود در طیف به صورت واضح‌تر و برجسته‌تر نشان داده می‌شوند که می‌تواند در نشان دادن یک ترکیب و یا یک پیوند شیمیایی خاص مفید باشد.

طیف NIR خرماها در وضعیت<sup>۱</sup> انعکاسی و در ناحیه ۴۰۰۰-۱۲۰۰۰ سانتی‌متر معکوس (۸۰۰-۲۵۰۰ نانومتر) با VECTOR استفاده از یک اسپکتروفوتومتر FT-NIR (مدل N/22 ساخت شرکت بروکر اپتیک<sup>۲</sup> کشور آلمان) به دست آمدند. اجزای اپتیکی اسپکتروفوتومتر مورد استفاده عبارت بودند از یک تداخل‌سنجد نوع میکلسون<sup>۳</sup> که می‌توانست وضعی برابر ۰/۸ نانومتر را ایجاد کند، یک آشکارساز سلونید سرب (PbSe)، یک منبع نوری از نوع هالوژن-تنگستن با پهنه‌ای باند وسیع و توان ۵۰ وات و یک کره مجتمع‌کننده<sup>۴</sup> که امکان اندازه‌گیری در وضعیت انعکاسی-نفوذی<sup>۵</sup> را فراهم می‌کرد. خرماها بر روی روزنه جمع‌آوری طیف با قطر ۳۰ میلی‌متر طوری قرار می‌گرفتند که محور ساقه-غلاف گل به صورت افقی قرار می‌گرفت (شکل ۱).

جهت افزایش دقیق و کاهش نویز حرارتی در آشکارساز اسپکتروفوتومتر در هر اندازه‌گیری، تعداد ۳۲ اسکن متوالی از نمونه گرفته و میانگین آن‌ها را به عنوان طیف اندازه‌گیری شده در نظر می‌گرفت. زمان جمع‌آوری هر اسکن برابر ۹۳۰ میلی‌ثانیه بود که باعث می‌شد هر طیف در مدت ۳۰ ثانیه به دست آید. از هر نمونه خرما دو طیف جدا از هر دو طرف خرما گرفته می‌شد که میانگین این دو طیف برای تحلیل‌های بعدی استفاده گردید. قبل از شروع هر طیف‌گیری، از کلاهک فلزی مخصوصی برای پوشاندن مجموعه نمونه و روزنه استفاده می‌شد تا از ورود نور محیط به داخل اسپکتروفوتومتر جلوگیری شود.



شکل ۱- نحوه قرارگیری نمونه بر روی دستگاه اسپکتروفوتومتر

بلغافاصله بعد از جمع‌آوری طیف‌ها، خرماها به دو نیمه بریده شده و هسته داخلی آنها برداشته شدند. از یک نیمه آن برای اندازه‌گیری میزان رطوبت و از نیمه دیگر، برای اندازه‌گیری

1. Mode
2. Bruker Optics
3. Michelson Interferometer
4. Integrating Sphere
5. Diffuse Reflectance

باقیمانده به عنوان دسته آزمون در نظر گرفته شدند. دقت مدل‌های پیشگو با استفاده از پارامترهای آماری ضریب تبیین ( $R^2$ )، ریشه میانگین مربعات خطا در اعتبارسنجی متقطع یگانه<sup>۶</sup> (RMSECV) و آزمونی<sup>۷</sup> (RMSEP) و انحراف پیشگوی باقیمانده<sup>۸</sup> (RPD) ارزیابی شدند. RPD که بهترین پارامتر در ارزیابی مدل‌های رگرسیون محسوب می‌شود با تقسیم انحراف استاندارد مقادیر مرجع بر میانگین مربعات خطای مدل (Li et al., 2007; RMSEP با RMSECV) محاسبه می‌شود (Williams & Norris, 2001). تعداد پهینه متغیرهای پنهانی در مدل‌های PLS با یافتن مینیمم منحنی RMSECV در برابر تعداد متغیرهای پنهان تعیین شدند. تمامی تحلیل‌های آماری در این تحقیق با استفاده از نرم افزار Unscrambler نسخه ۹/۷ که یک نرم افزار آماری برای رگرسیون چند متغیره می‌باشد، انجام شدند.

## نتایج و بحث

شکل ۲ طیف NIR جذبی خرمها را به صورت خام و بدون هرگونه پیش پردازش نشان می‌دهد. همان طور که ذکر شده، هر طیف، میانگین دو طیف متفاوتی است که از دو سوی مختلف هر نمونه گرفته شده است. در تمامی این طیف‌ها، تعداد ۵ باند جذبی در اطراف عدد موج‌های ۱۰۲۲۵، ۸۶۷۳، ۸۴۹۶، ۵۶۱۸ و ۵۱۸۱ سانتی‌متر معکوس وجود دارد. تمامی این باندهای جذبی به باندهای جذبی آب خالص (۱۰۴۳۸، ۸۶۷۰، ۵۶۲۰، ۶۸۵۰ و ۵۱۸۰ سانتی‌متر معکوس) بسیار نزدیک هستند (Lu, 2001)، با این حال باندهای جذبی در عدد موج‌های که با باندهای جذبی آب خالص همپوشانی دارند (Park et al., 2003; Huishan et al., 2005).

جدول ۱ پارامترهای آماری خرماهای استفاده شده در واسنجی (اعتبارسنجی متقطع یگانه) و اعتبارسنجی آزمونی را نشان می‌دهد. به دلیل جمع‌آوری نمونه‌ها در طول فصل برداشت، نمونه‌ها دارای تغییرپذیری زیادی در میزان رطوبت و SSC در هر دو دسته داده‌های واسنجی و اعتبارسنجی آزمونی بودند. تفاوت اندک ضرایب تغییرپذیری در نمونه‌های استفاده شده برای واسنجی و اعتبارسنجی آزمونی در هر دو پارامتر اندازه‌گیری شده، نشان دهنده توزیع خوب نمونه‌ها در هر دو دسته واسنجی و اعتبارسنجی آزمونی می‌باشد.

6. Root Mean Square Error of Cross Validation  
7. Root Mean Square Error of Prediction  
8. Residual Predictive Deviation

در این تحقیق، برای ساخت مدل‌های پیشگویی میزان رطوبت و SSC، از روش حداقل مربعات نسبی<sup>۱</sup> (PLS) استفاده شد. PLS یک روش مدل‌سازی است که در آن برای ساده سازی روابط بین متغیرهای مستقل  $X$  (میزان جذب در طول موج‌های مختلف) و متغیر وابسته  $Y$  (میزان رطوبت یا SSC)، مقادیر متغیرهای مستقل  $X$  به تعداد اندکی از متغیرهای پنهانی<sup>۲</sup> (LV) مطابق با معادلات<sup>۳</sup> و<sup>۴</sup> تصویر می‌شوند:

$$X = TP + E \quad (3)$$

$$Y = UQ + F \quad (4)$$

در این معادلات،  $T$  و  $U$  ماتریس‌های رتبه<sup>۳</sup> به ترتیب ماتریس‌های  $X$  و  $Y$  (تعداد ستون‌های ماتریس  $T$  برابر تعداد متغیرهای پنهانی)،  $P$  و  $Q$  ماتریس‌های بارگذاری به ترتیب ماتریس‌های  $X$  و  $Y$  و در نهایت  $E$  و  $F$  مقادیر خطایی هستند که از فرآیند تصویر متحیرهای به ترتیب  $X$  و  $Y$  به دست می‌آیند.

مرحله دوم در مدل‌سازی PLS پردازش ماتریس‌های  $T$  و  $U$  با استفاده از رگرسیون خطی است که طی آن می‌باشد رابطه خطی<sup>۵</sup> ساخته شود.

$$u = bt + e \quad (5)$$

که در آن  $u$  و  $t$  ماتریس‌های پردازش شده  $U$  و  $T$ ،  $b$  ماتریس ضرایب رگرسیون و  $e$  میزان خطای رگرسیون می‌باشد (Shao & He, 2007).

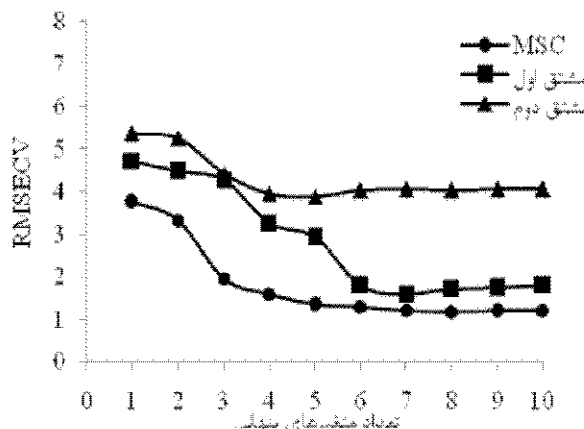
مرحله بعدی در مدل‌سازی PLS بررسی اعتبار مدل‌های پیشگویی به دست آمده می‌باشد. در این تحقیق اعتبار مدل‌های PLS با دو روش متفاوت بررسی شدند: روش اعتبارسنجی متقطع یگانه<sup>۴</sup> و روش اعتبارسنجی آزمونی<sup>۵</sup>. در روش اعتبارسنجی متقطع یگانه، یک نمونه را از مجموعه خارج و از بقیه نمونه‌ها برای ساختن مدل کالیبراسیون استفاده می‌شود. سپس با استفاده از مدل، تک نمونه باقیمانده پیش‌بینی شده و میزان خطای محاسبه می‌شود. این عمل برای تمام نمونه‌های موجود در دسته کالیبراسیون انجام شده و در نهایت میانگین مربعات خطای کل نمونه‌ها به عنوان خطای مدل در نظر گرفته می‌شود. در روش معتبرسازی آزمونی، نمونه‌ها به دو دسته کاملاً مستقل تقسیم می‌شوند: دسته اول برای کالیبراسیون و دسته Williams & Norris (2001). در این تحقیق ۷۵ درصد نمونه‌ها به طور اتفاقی به عنوان دسته واسنجی (اعتبارسنجی متقطع یگانه) و ۲۵ درصد

1. Partial Least Squares
2. Latent Variables
3. Score Matrices
4. Leave one-out Cross Validation
5. Test Validation

جدول ۱- پارامترهای آماری خرماهای استفاده شده در واسنجی (اعتبارسنجی متقاطع بگانه) و اعتبارسنجی آزمونی

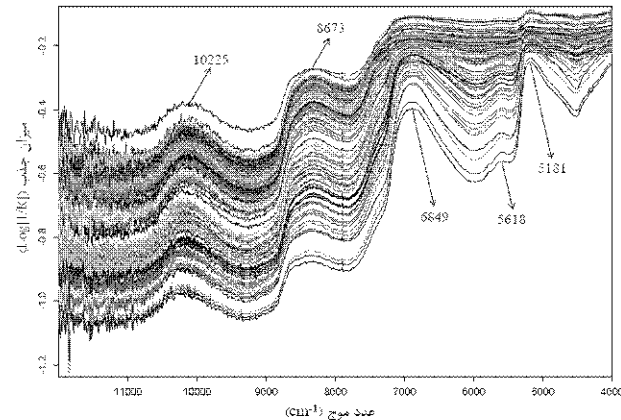
اعتبارسنجی آزمونی (۳۸ عدد)	کالیبراسیون یا اعتبارسنجی متقاطع بگانه (۱۱۲ عدد)	پارامتر		
SSC	درصد رطوبت	SSC	درصد رطوبت	درصد رطوبت
۵۳/۹	۷۷/۰	۵۲/۹	۸۷/۷	حداکثر
۱۵/۷	۲۸/۵	۱۴/۴	۳۷/۴	حداقل
۳۹/۲	۵۲/۵	۴۲/۴	۵۰/۵	میانگین
۱۰/۱	۱۰/۴	۷/۷	۸/۳	انحراف استاندارد
۲۵/۸	۱۹/۸	۱۸/۲	۱۶/۵	ضریب تعییریزدیری (/)

اعتبارسنجی آزمونی به ترتیب برابر ۰/۹۶۹ و RMSECV برابر ۱/۲ درصد و RMSEP برابر ۱/۴ درصد شد. مقادیر RPD به دست آمده از این مدل برابر ۷/۱ و ۷/۴ برای بهترین و انتخابی متقاطع بگانه و اعتبارسنجی آزمونی بودند. مطابق با Williams & Norris (2001)، مقادیر RPD بین ۰/۶-۰/۸ اشاره به عملکرد بسیار خوب مدل‌های پیشگوی براساس داده‌های NIR دارند. پیش‌پردازش مشتق اول منجر به مدلی با RMSECV برابر ۱/۶ درصد ( $R^2 = ۰/۹۵۳$ ) برای اعتبارسنجی متقاطع بگانه و RMSEP برابر با ۱/۸ درصد ( $R^2 = ۰/۹۶۹$ ) شد که دومین مدل از نظر توانایی در پیش‌بینی درصد رطوبت خرمها می‌باشد. ضعیفترین مدل مربوط به پیش‌پردازش مشتق دوم می‌باشد که RMSECV برابر ۳/۹ درصد ( $R^2 = ۰/۶۶۵$ ) برای اعتبارسنجی متقاطع بگانه و RMSEP برابر با ۵/۰ درصد ( $R^2 = ۰/۷۱۰$ ) به دست داد.



شکل ۳- نمودار RMSECV در مدل‌های PLS پیشگویی میزان رطوبت در برابر تعداد متغیرهای پنهانی با استفاده از پیش‌پردازش‌های MSC مشتق‌های اول و دوم

شکل‌های ۴ و ۵ مقادیر میزان رطوبت پیش‌بینی شده توسط بهترین مدل PLS را در برابر مقادیر واقعی اندازه‌گیری شده توسط روش‌های مرجع برای بهترین مدل انتخاب شده. متقاطع بگانه و اعتبارسنجی آزمونی نشان می‌دهد.



شکل ۲- طیف FT-NIR و جذبی خرمها در ناحیه ۴۰۰۰-۱۲۰۰۰ سانتی‌متر معکوس

#### مدل‌های PLS برای پیشگویی میزان رطوبت

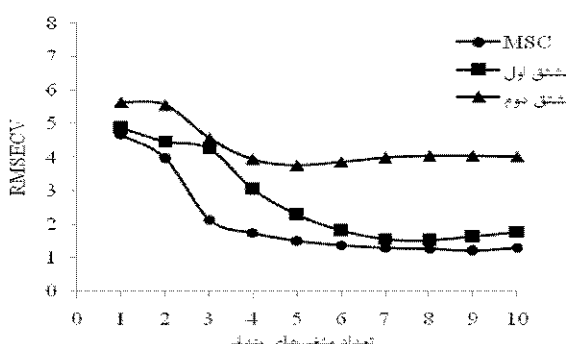
برای پیشگویی میزان رطوبت خرمها، سه مدل PLS با استفاده از سه روش پیش‌پردازش MSC، مشتق اول و مشتق دوم به دست آمدند. شکل ۳ نمودار RMSECV را در برابر تعداد متغیرهای پنهانی PLS برای پیشگویی میزان رطوبت خرمها با استفاده از پیش‌پردازش‌های متفاوت (MSC، مشتق‌های اول و دوم) نشان می‌دهد. همان‌طور که در شکل ۳ مشاهده می‌شود، روش MSC به وضوح میزان RMSECV کمتری را در مقایسه با دیگر پیش‌پردازش‌ها به دست می‌دهد. در این مدل، میزان RMSECV با افزایش مقدار متغیرهای پنهانی کاهش می‌یابد تا تعداد متغیرها به عدد ۸ برسد. بعد از هشتین متغیر پنهانی، مقدار RMSECV اندکی افزایش می‌یابد که نشان از بیش از ۱ مدل است. بنابراین تعداد بهینه متغیرهای پنهانی در مدل PLS با پیش‌پردازش MSC برابر ۸ انتخاب شد، حال آن که این تعداد در مدل‌های PLS با پیش‌پردازش‌های مشتق اول و دوم به ترتیب برابر ۷ و ۵ انتخاب گردید.

جدول ۲ نتایج مدل‌های PLS در تعیین درصد رطوبت خرمها را با استفاده از پیش‌پردازش‌های متفاوت نشان می‌دهد. در بین سه روش پیش‌پردازش، روش MSC منجر به بهترین مدل پیشگویی رطوبت با  $R^2$  اعتبارسنجی متقاطع بگانه و

جدول ۲- نتایج مدل‌های PLS برای تخمین میزان رطوبت خرما با استفاده از پیش‌پردازش‌های متفاوت

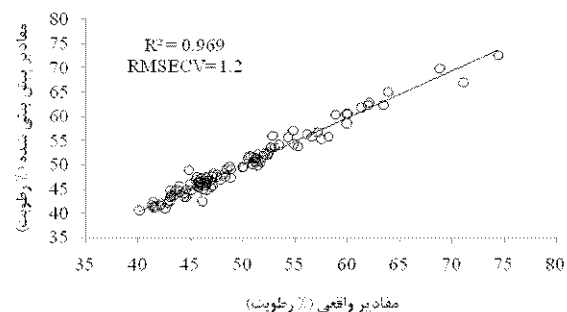
اعتبارسنجی آزمونی				اعتبارسنجی متقطع یگانه				کالیبراسیون		پیش‌پردازشگر
RPD	RMSEP	R <sup>2</sup>	RPD	RMSECV	R <sup>2</sup>	RMSEC	R <sup>2</sup>	متغیرهای پنهانی		
۷/۴	۱/۴	۰/۹۷۷	۷/۱	۱/۲	۰/۹۶۹	۱/۰	۰/۹۷۸	۸	MSC	
۶/۲	۱/۷۱	۰/۹۶۹	۵/۲	۱/۶	۰/۹۵۳	۱/۱	۰/۹۷۹	۷	مشتق اول	
۲/۱	۵/۰	۰/۷۱۰	۲/۱	۳/۹	۰/۶۶۵	۲/۲	۰/۸۹۴	۵	مشتق دوم	

نتایج مدل‌های PLS در پیشگویی SSC خرمها با استفاده از روش‌های مختلف پیش‌پردازش در جدول ۳ خلاصه شده است. بهترین مدل PLS با پیش‌پردازش MSC و تعداد ۹ متغیر پنهانی، ضریب تبیینی ( $R^2$ ) برابر ۰/۹۷۵ و ۰/۹۷۳ برای بهترین ترتیب اعتبارسنجی متقطع یگانه و اعتبارسنجی آزمونی، RMSECV برابر با ۱/۲ درجه بريکس و RMSEP برابر با ۱/۶ درجه بريکس را ارائه داد. مقادیر RPD به دست آمده از این مدل برابر ۶/۴ و ۶/۳ برای بهترین ترتیب اعتبارسنجی متقطع یگانه Williams & Norris و اعتبارسنجی آزمونی بود که مطابق با (۲۰۰۱)، مقادیر RPD بین ۵ تا ۶/۴ بیانگر عملکرد خوب یک مدل NIR در تخمین ماده شیمیایی است و چنین مدلی می‌تواند در فرآیندهای کنترل کیفی به کار گرفته شود. همانند مدل‌های تخمین رطوبت، پیش‌پردازش مشتق اول منجر به مدلی با RMSECV برابر ۱/۵ درجه بريکس ( $R^2 = 0/953$ ) برای اعتبارسنجی متقطع یگانه و RMSEP برابر با ۱/۹ درجه بريکس ( $R^2 = 0/968$ ) شد که دومین مدل از نظر توانایی در پیش‌بینی SSC خرمها می‌باشد. ضعیفترین مدل نیز ناشی از پیش‌پردازش مشتق دوم گزارش شد که RMSECV برابر ۳/۸ درجه بريکس ( $R^2 = 0/701$ ) برای اعتبارسنجی متقطع یگانه و RMSEP برابر با ۵/۲ درجه بريکس ( $R^2 = 0/704$ ) به دست داد.

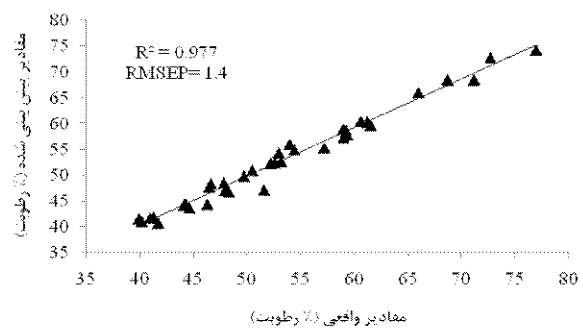


شکل ۶- نمودار RMSECV در مدل‌های PLS برای تخمین میزان رطوبت خرماء با استفاده از پیش‌پردازش‌های MSC، مشتق اول و مشتق دوم

مقادیر SSC پیش‌بینی شده توسط بهترین مدل PLS در برابر مقادیر واقعی اندازه‌گیری شده توسط روش‌های مرجع در شکل‌های ۷ و ۸ برای بهترین ترتیب اعتبارسنجی متقطع یگانه و اعتبارسنجی آزمونی نشان داده شده است.



شکل ۴- مقادیر میزان رطوبت پیش‌بینی شده توسط بهترین مدل PLS در برابر مقادیر واقعی برای اعتبارسنجی متقطع یگانه



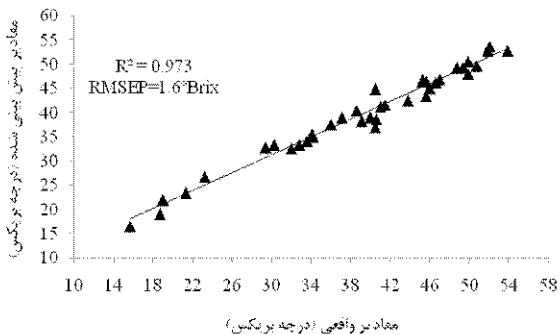
شکل ۵- مقادیر میزان رطوبت پیش‌بینی شده توسط بهترین مدل PLS در برابر مقادیر واقعی برای اعتبارسنجی آزمونی

### مدل‌های PLS برای پیشگویی SSC

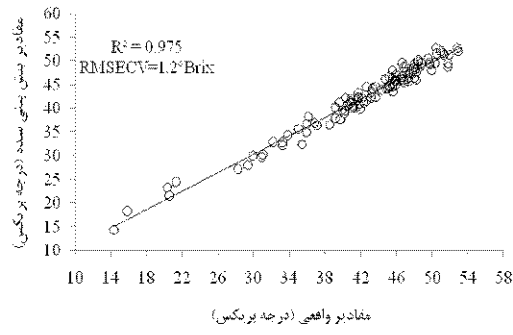
جهت پیشگویی SSC خرمها، سه مدل PLS با استفاده از سه روش پیش‌پردازش MSC، مشتق اول و مشتق دوم ساخته شدند. شکل ۶ نمودار RMSECV در برابر تعداد متغیرهای پنهانی PLS برای پیشگویی SSC خرمها با استفاده از پیش‌پردازش‌های متفاوت (MSC، مشتق‌های اول و دوم) را نشان می‌دهد. همانند مدل تخمین میزان رطوبت، روش MSC بهترین مدل PLS برای پیش‌بینی SSC را ارائه داد. منحنی RMSECV برای این مدل دارای یک مینیمم در نهمین متغیر پنهانی بود. بنابراین تعداد بهینه متغیرهای پنهانی برابر ۹ انتخاب شد. منحنی‌های RMSECV در برابر تعداد متغیرهای پنهانی در مدل‌های PLS با پیش‌پردازش‌های مشتق اول و دوم، دارای مینیمم در بهترین ترتیب ۸ و ۵ متغیر پنهانی بودند که این اعداد به عنوان تعداد متغیرهای پنهانی بهینه در مدل‌های مربوط در نظر گرفته شدند.

جدول ۳- نتایج مدل‌های PLS برای تخمین SSC خرما با استفاده از پردازش‌های متفاوت

اعتبارسنجی آزمونی			اعتبارسنجی متقطع یگانه			کالیبراسیون		پیش
RPD	RMSEP	R <sup>2</sup>	RPD	RMSECV	R <sup>2</sup>	RMSEC	R <sup>2</sup>	متغیرهای پنهانی
۶/۲	۱/۶	۰/۹۷۳	۶/۴	۱/۲	۰/۹۷۵	۱/۰	۰/۹۸۳	۹
۵/۲	۱/۹	۰/۹۶۸	۵/۱	۱/۵	۰/۹۵۳	۱/۱	۰/۹۸۰	۸ مشتق اول
۱/۹	۰/۵/۲	۰/۷۰۴	۲/۰	۳/۸	۰/۷۰۱	۲/۴	۰/۸۸۱	۵ مشتق دوم



شکل ۸- مقادیر SSC پیش‌بینی شده توسط بهترین مدل PLS در برابر مقادیر واقعی برای اعتبارسنجی آزمونی



شکل ۷- مقادیر SSC پیش‌بینی شده توسط بهترین مدل PLS در برابر مقادیر واقعی برای اعتبارسنجی متقطع یگانه

منجر به بهترین مدل شد که می‌توانست میزان رطوبت و مواد جامد محلول خرما را با یک RMSEP به ترتیب برابر ۱/۴ درصد (R<sup>2</sup>= ۰/۹۷۷) و ۱/۶ درجه بردیکس (R<sup>2</sup>= ۰/۹۷۳) پیش‌بینی کند. مقادیر RPD نسبتاً بالای به دست آمده از این تحقیق (۶/۲ و ۵/۲) برای به ترتیب میزان رطوبت و مواد جامد محلول پیشنهاد کاربرد طیف سنجی FT-NIR در تعیین غیرمخرب و سریع (کمتر از ۳۰ ثانیه) میزان رسیدگی خرمای شاهانی را ارائه می‌دهد.

## REFERENCES

- Al-Shahib W. & Marshall R. J. (2003). The fruit of the date palm: its possible use as the best food for the future. *International Journal of Food Sciences and Nutrition*, 54(4), 247-259.
- Ashrafjahani A. (2002). Date fruit, The fruit of life. Iran, *Agricultural Sciences publication*.
- Association of Official Agricultural Chemists. (1998). Official Methods of Analysis. A.O.A.C. 16th<sup>ed</sup>. Published by A.O.A.C. Washington, D.C. (U.S.A).
- Awad M. A. (2007). Increasing the rate of ripening of date palm fruit (*Phoenix dactylifera L.*) cv. Helali by preharvest and postharvest treatments. *Postharvest Biology and Technology*, 43, 121-127.
- Biglari F., AlKarkhi A. F. M. & Easa A. M. (2009). Cluster analysis of antioxidant compounds in dates (*Phoenix dactylifera*): Effect of long-term cold storage. *Journal of Food Chemistry*, 112, 998-1001.
- Elleuch M., Besbes S., Roiseux O., Blecker C., Deroanne C., Drira N. & Attia H. (2008). Date flesh: Chemical composition and characteristics of the dietary fibre. *Journal of Food Chemistry*, 111, 676-682.
- FAOSTAT (2006). Statistical Year Book of FAO. Available in: <http://faostat.fao.org>.
- Huishan, L., Yibin Y., Huanyu J., Yande L., Xiaping F. & Wang J. (2005). Application Fourier Transform Near Infrared Spectrometer in Rapid Estimation of Soluble Solids Content of Intact Citrus Fruits. *ASAE Paper No: 053042. St. Joseph, Mich.: ASAE*.
- Imad, A. A. & Abdul Wahab K. A. (1995). Chemical composition of date varieties as influenced by the stage of ripening. *Journal of Food Chemistry*, 54, 305-309.
- Ismail, K. M. & Alyahya S. A. (2003). A quick method for measuring date moisture content. *Transactions of the ASAE*, 46(2), 401-405.
- Keramat Jahromi, M., Jafari A., Rafiee Sh., Mirasheh R. & Mohtasebi S. S. (2008). Changes in physical properties of date fruit (cv. Shahani) during three edible stages of ripening. *American-Eurasian Journal of Agricultural and Environmental Science*, 3 (1), 132-136.

## نتیجه‌گیری

نتایج به دست آمده از این تحقیق نشان داد که تکنیک غیرمخرب طیف سنجی FT-NIR دارای پتانسیل بسیار قوی در تشخیص همزمان و سریع میزان رطوبت و مواد جامد محلول خرما می‌باشد. توانایی مدل‌های PLS برای پیش‌بینی میزان رطوبت و SSC به طور قابل توجهی تحت تأثیر نوع پیش‌پردازش مورد استفاده بودند. در میان پیش‌پردازش‌های متفاوت (MSC، مشتق‌های اول و دوم) پیش‌پردازش MSC

- Lee, D.J., Archibald, J. K., Chang Y.C. & Greco, C. R. (2008). Robust color space conversion and color distribution analysis techniques for date maturity evaluation. *Journal of Food Engineering*, 88, 364-372.
- Li X., He, Y., Wu, C. & Sun, D. 2007. Nondestructive measurement and fingerprint analysis of soluble solid content of tea soft drink based on Vis/NIR spectroscopy. *Journal of Food Engineering*, 82, 316-323.
- Liu, Y. & Ying, Y. (2004). Prediction of Maturity for Pears using Fourier Transform Near Infrared Spectroscopic Technology. *ASAE Paper Number: 046187. St. Joseph, Mich.: ASAE.*
- Liu, Y. & Ying, Y. (2005). Use of FT-NIR spectrometry in non-invasive measurements of internal quality of 'Fuji' apples. *Postharvest Biology and Technology*, 37, 65-71.
- Lu, R. (2001). Predicting Firmness and sugar content of sweet cherries using near-infrared diffuse reflectance spectroscopy. *Transactions of the ASAE*, 44(5), 1265-1271.
- Martens, H. & Naes, T. (2001). Near-infrared technology in the agricultural and food industry. St. Paul, MN: *American Association of Cereal Chemists, Inc.*
- Nicolai, B. M., Beullens, K., Bobelyn, E., Peirs, A., Saeys, W., Theron, K. I. & Lammertyn, J. (2007). Nondestructive measurement of fruit and vegetable quality by means of NIR spectroscopy: A review. *Postharvest Biology and Technology*, 46, 99-118.
- Park, B., Abbott, J. A., Lee, K. J., Choi, C. H. & Choi, K. H. (2003). Near- infrared diffused reflectance for quantitative and qualitative measurement of soluble solids and firmness of Delicious and Gala apples. *Transactions of the ASAE*, 46(6), 1721-1731.
- Peirs, A., Scheerlinck, N., Touchant, K., Nicolai, B.M. (2002). Comparison of Fourier transform and dispersive near-infrared reflectance spectroscopy for apple quality measurements. *Biosystems Engineering*, 81 (3), 305-311.
- Sahari, M.A., Barzegar, M. & Radfar, R. (2007). Effect of Varieties on the Composition of Dates (*Phoenix dactylifera L.*). *Journal of Food Science and Technology International*, 13(4), 269-275.
- Schmilovitch, Z., Hoffman, A., Egozi, H. & Grinshpun, J. (2006). Determination of single-date water content by a novel RF device. *Transactions of the ASAE*, 22(3), 401-405.
- Schmilovitch, Z., Hoffman, A., Egozi, H., Ben-Zvi, R., Bernstein, Z. & Alchanatis, V. (1999). Maturity determination of fresh dates by near infrared spectrometry. *Journal of the Science of Food and Agriculture*, 79, 86-90.
- Shao, Y. & He, Y. (2007). Nondestructive measurement of the internal quality of bayberry juice using Vis/NIR spectroscopy. *Journal of Food Engineering*, 79, 1015-1019.
- Wetzel, D. L. (2001). Near-Infrared technology in the Agricultural and Food industry. St. Paul, MN: *American Association of Cereal Chemists, Inc.*
- Williams, P. C. & Norris, K. (2001). Near-Infrared technology in the Agricultural and Food industry. St. Paul, MN: *American Association of Cereal Chemists, Inc.*
- Yan-de, L., Yi-bin, Y., Xiaping, F., Huishan, L. (2007). Experiments on predicting sugar content in apples by FT-NIR Technique. *Journal of Food Engineering*, 80, 986-989.
- Ying, Y. B., Liu, Y. D., Wang, J. P., Fu, X. P. & Li, Y. B. (2005). Fourier transform near-infrared determination of total soluble solids and available acid in intact peaches. *Transactions of the ASAE*, 48(1), 229-234.